

九州大学工学部 正員 後藤恵之輔
学生員 ○小八重慶明

1 序言

有孔帯板の研究は、従来ほとんど单一孔を含む場合に限られており、複数孔の孔を有する場合についてはそれまでされてゐる。すなはち、前者に関しては Howland, Wang および鶴戸口らが円孔を取扱い、石田は精円孔および正方形孔を対象として一連の研究を行つてゐる。後者に対しては西谷・井ノ口・上村は精円孔と円孔を有する場合の研究がある。一方、有孔帯板には、孔あきカバープレートやデッキプレートに見られるごとく、数多くの孔が含まれていましても少くない。本研究は、一列等間隔に並んだ無限個の孔をもつ帯板の引張り問題を取扱つたもので、孔形状は任意であり、解法には著者独自の考案による複素変数法と逐点法との併用法を用いた。

2 解法および計算例

孔の外周領域を単位円の外部へ等角写像する函数を 次式で表す。

$$Z = R \left(S + \sum_{n=1}^{\infty} a_n S^{-n} \right) \quad (1)$$

ここに、 $Z = x + iy$, $S = \rho \exp(i\beta)$, (x, y) : 直角座標, (ρ, β) : 極座標, R : 孔の大きさを示す実数, a_n : 一般に 0 でない複素数係数。

二次元弾性問題の解は、Muskhelishvili の複素変数法を用いて、二種の複素応力函数を決定することに帰着する。いま、これら応力函数を次式のごとく仮定する。

$$\begin{aligned} \varphi(S) &= \sum_{k=0}^{\infty} B_k S^k + \sum_{k=1}^{\infty} b_k S^{-k} \\ \psi(S) &= \sum_{k=0}^{\infty} C_k S^k + \psi_0(S) \end{aligned} \quad (2)$$

ここに、係数 B_k , C_k および b_k と函数 $\psi_0(S) = \sum_{k=1}^{\infty} c_k S^{-k}$ は境界条件より決定されるものである。

孔縁は応力自由であるとすれば、そり境界条件式より b_k と $\psi_0(S)$ とが、他の係数 B_k , C_k の函数として次式のごとく求められる。

b_k について:

$$b_k = \begin{cases} f_k - \bar{f}_k - \bar{C}_k, k=1, 2, \dots, N-2 \\ -\bar{f}_k - \bar{C}_k, k=N-1, N, K \\ -\bar{f}_k, k=K+1, K+2, \dots, N+K-1 \\ 0, k \geq N+K \end{cases} \quad \begin{cases} f_k - \bar{f}_k - \bar{C}_k, k=1, 2, \dots, K \\ -\bar{f}_k, k=K+1, K+2, \dots, N+K-1 \\ 0, k \geq N+K \end{cases} \quad \begin{cases} f_k - \bar{f}_k - \bar{C}_k, k=1, 2, \dots, K \\ f_k - \bar{f}_k, k=K+1, K+2, \dots, N-2 \\ -\bar{f}_k, k=N-1, N, \dots, N+K-1 \\ 0, k \geq N+K \end{cases} \quad (3)$$

$\psi_0(S)$ について:

$$\psi_0(S) = \sum_{p=0}^{N+K-1} \bar{F}_p S^p - \sum_{p=0}^{K-1} \bar{f}_p S^p - \sum_{k=1}^K \bar{B}_k S^{-k} - \frac{\psi'(S)}{\psi'(S)} \varphi(S) \quad (4)$$

ここに、係数 \bar{F}_p やび \bar{f}_p は次式よりそれを B_k , b_k の函数として表される。

$$F_p = \sum_{k=1}^K \lambda_k e_{N+p-k-1} \bar{B}_k \quad (5)$$

$$f_p = \sum_{k=1}^K \lambda_k e_{N+p-k-1} \bar{b}_k \quad (6)$$

さらに、式(5), (6)中の係数 $C_{N+n-k-1}$ は半径内数の係数 C_k を用いて次式より算定される。

$$C_{N+k} = C_k - \sum_{j=1}^{k-1} j \bar{Q}_j C_{k-1-j} \quad (7)$$

残る未定係数 B_k, C_k は外縁および隣接構造単位との接合部における境界条件より決定される。すなわち、Fig. 1 に示される椭円孔について説明すれば次のとおりである。この場合、構造および荷重の対称性より 4 分の 1 領域(斜線を施した部分)を取扱えやすく、 $B_k = B_1, B_2, B_3, \dots, C_k = C_1, C_2, C_3, \dots$ である。応力および変位は、未定係数 B_k, C_k を含んで次式のとく求められる。

$$\left. \begin{aligned} A_x &= \sum_{k=1}^{\infty} B_k \cdot R_k (D(k) \{k^2 5^{k-1} - k \cdot B_1 5^{-k+1}\}) - D_1(k) \{k(k-1) 5^{k-2} + k(k+1) \cdot B_1 5^{-k+2}\} - D_2(k) \{k(k+1) 5^{k-1} + k \cdot 5^{-k+1}\} \\ &\quad + \sum_{k=1}^{\infty} C_k \cdot R_k (D(k) \{-k \cdot B_1 5^{-k+1}\}) - D_1(k) \{k(k+1) \cdot B_1 5^{-k+2}\} - D_2(k) \{k \cdot 5^{k-1}\} \end{aligned} \right\}$$

$$B_y = A_x の式において D(k) を D_1(k) に、 -D_1(k) を +D_2(k) に、 -D_2(k) を +D_1(k) にあき換えればよい。$$

$$T_{xy} = A_x の式において D(k) を D_1(k) に、 -D_1(k) を +D_2(k) に、 -D_2(k) を +D_1(k) にあき換え、かつ R_k を I_k とすればよい。$$

$$\left. \begin{aligned} 2G U_k &= \sum_{k=1}^{\infty} B_k \cdot R_k (K(k^2 + k \cdot B_1 5^{-k})) - D_1(k) \{k^2 5^{k-1} - k \cdot B_1 5^{-k+1}\} - (k \cdot B_1 5^k - 5^k) \\ &\quad + \sum_{k=1}^{\infty} C_k \cdot R_k (K(k \cdot B_1 5^{-k} - D_1(k) \{-k \cdot B_1 5^{-k+1}\}) - 5^k) \\ 2G U_3 &= A_x の式において R_k を I_k とすればよい。 \end{aligned} \right\}$$

$$\text{ここに, } \alpha D_k = -k \cdot B_1, \alpha R_k = -1 \text{ であり, } D(k),$$

$D(k), \dots, D_2(k)$ は半径内数 $Z = \omega(k)$ の値で I_k に用すよどりである。

他方、境界条件は次式で与えられる。

$$\left. \begin{aligned} x = l \text{ において } U_x = U_0, U_{xy} = 0 \\ y = l \text{ において } \beta_y = 0, C_{xy} = 0 \end{aligned} \right\} \quad (10)$$

式(8), (9)を(10)に代入することにより、未定係数 B_k, C_k に関する方程式がえられますが、これらを完全に解くことは困難なるゆえ、選点法を用いてこの連立方程式を解けば、係数 B_k, C_k が決定され、したがって、所要の応力および変位が求められることとなる。

計算結果の一例を Fig. 1 の椭円孔列について Fig. 2 および Fig. 3 に示す。なお、 $\gamma_1 = 1$ とし $\gamma_2 = \gamma_3 = 1/2$, $\mu = 0.5$ である。

参考文献

- 1) R.C.J. Howland : Phil. Trans. Roy. Soc. Lond., Ser. A, Vol. 229, 1938, pp. 48-86.
- 2) C.-K. Wang : Jour. Appl. Mech., Vol. 13, No. 2, Jun. 1946, pp. A-77-A-84.
- 3) 鶴戸口 : 機械学会論文集, 15巻50号, 昭和24年, pp. 78-87, 88-97
- 4) 石田 : 機械学会論文集, 21巻107号, 昭和30年7月, pp. 507-513, 514-518, 25巻159号, 昭和36年11月, pp. 1110-1118.
- 5) 西行・井口 : 機械学会論文集, 33巻248号, 昭和42年2月, pp. 170-181.
- 6) 俊慶 : 九大工学集報, 45巻1号, 昭和47年1月, pp. 866-869.

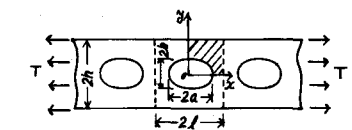


Fig. 1 Strip with a row of infinite elliptic holes.

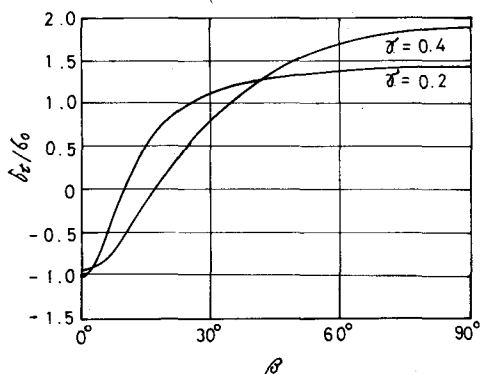


Fig. 2 Stress distribution around an elliptic hole ($\mu = 0.5$).

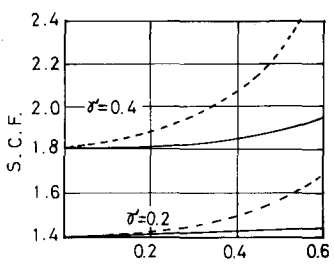


Fig. 3 Stress concentration factor